

京都大学工学部 正 員 ○高樟琢馬
京都大学大学院 学生員 雄葉充晴

1. はじめに 一般に変換系は入力ベクトルを \mathbf{x} 、出力ベクトルを \mathbf{y} とするとき、 $\mathbf{y} = H * \mathbf{x}$ で表わされる。ここで H はシステム関数である。系が線形時間不变であれば一定、線形時間変化系であれば時刻 t の関数、非線形時間不变系では入力の関数、非線形時間変化系では入力と時刻の関数である。とくに、降雨 $R(t)$ から対象地点の流出 $Q(t)$ を考察するとき、上記 H は河道分布系による変換と斜面系での変換とから構成される。斜面系での変換は、十分研究され既にその変換構造も明らかにされている。したがって本研究では主に河道分布系での変換特性について論ずる。すなはち、河床地形則河道の統計則を媒介とし、斜面・河道内の水流機構を考慮して、分布系をいくつかの順序づけられた集中系群に置換する方法を述べ、それを基礎に河道分布系での変換を考察する。とくに分布系特性がローカル近傍に及ぼす影響について論ずるが、これは出水系の集中化スケールを考察する場合、分布系特性の出水に及ぼす影響を評価することと、距離スケールによる不变量を見出すことと並んで重要であるからである。

2. 1次元モデル 河道分布系は Horton-Strahler 位数系において、位数化ノード iCu の集合 $\{Cu_1, Cu_2, \dots, Cu_i, \dots, Cu_{N_u}\}$ で表わされる。ここで Cu_i は流域最下流端の河道である。また、 Cu_i はそれがもつ合流域数 n によって層別化された要素ノード iCu の集合である。

$$Cu_i = \left\{ \sum_{u=1}^{n_{i-1}} (iCu_u) \right\} \quad (1)$$

のように表現される。 iCu_u は i 個の合流域をもつ位数 u の河道である。このようにして定義されたノードが位数化され、合流域数によって層別化された河道区分間に、以下のようないくつかの統計則が成立する。

$$\frac{1}{4} \text{則}: \quad N(Cu_u) / N(Cu_{u+1}) = 4 \quad (u = 1, 2, \dots, k) \quad (2)$$

$$\frac{1}{2} \text{則}: \quad N(iCu_i) / N(Cu_u) = (1/2)^i \quad (i = 1, 2, \dots, N_u - 1) \quad (3)$$

$$\frac{3}{4} \text{則}: \quad N(uCu_u) / N(Cu_u) = (\frac{3}{4})(\frac{1}{4})^{u-u-1} \quad (u = u+1, u+2, \dots, k) \quad (4)$$

ここで、 $N(Cu_u)$ 、 $N(iCu_i)$ 、および $N(uCu_u)$ はそれぞれ位数 u のノード数、および位数 $u+1$ 以上のノードに接続する位数 u のノード数である。さらに、この位数系において、次の経験的法則が確められている。

$$\text{集水面積則: } \bar{A}_u = \bar{A} \cdot R_a^{u-1} \quad (5)$$

$$\text{河道長則: } \bar{L}_u = \bar{L} \cdot R_l^{u-1} \quad (6)$$

$$\text{河道勾配則: } \bar{s}_u = \bar{s}_1 \cdot R_s^{1-u} \quad (7)$$

ここで \bar{L}_u 、 \bar{A}_u 、 \bar{s}_u はそれぞれ位数 u の河道の平均的な長さ、集水面積、勾配を表す。また、 R_a 、 R_l 、 R_s はそれぞれ河道長比、集水面積比、河道勾配比である。

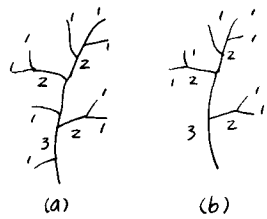
以上を基礎に、河床地形と各位数のノードごとに集中化し、1個のノード内の流れ機構を線形と仮定すると、 iCu_{u+1} 内の群ゼータの合流域程は、

$$E(\bar{g}_{pu+1}) = (Z + i \cdot p_i) E(\bar{g}_{pu}) \quad (8)$$

となる。ここで p_i は合致測度である。ここで残流域と位数 $u+1$ の河道に流入する位数 $u-1$ 以下の河道の集水面積を位数 i の河道に均等に配分する。すなわち、例えば、図 1(a) の分布系を、(b) の分布系に変換し、集水面積を変換する。そのとき、 $u+1$ 位の 1 ドのピーク流量は、

$$E(\bar{g}_{pu+1}) = \prod_{i=1}^u a_i (Z + p_i \cdot p_i) \bar{g}_{pu} \quad (9)$$

$$p_u = \sum_{i=1}^{i=\max} (i-1) \frac{N(iC_u)}{N(C_u)} \quad (10)$$



数字は位数

図 1

とかける。ここで a_i は、上記の面積の配分による係数である。面積分配係数とよばれ、1/4 则、3/4 则、集水面積則から次式が与えられる。

$$a_i = R_a / 3. \quad (11)$$

3. 河道分布系との変換。河道内流れを支配する因子の複雑な数ばかり、複雑な合流を少數個の指標に集中的に表現することは非常に困難である。以下では、1 次元モデルの方法を用い、チエイン概念を導入して河道効果の取扱いを述べる。

3-1 チエイン 河道配列のトポロジーモデルにおいて節点 C_u と C_{u+1} との対をリンクとよび、 $R_u = (C_u, C_{u+1})$ とかく。また、節点 C_u から節点 C_{u+1} へリンク i に沿っていく経路を C_u から C_{u+1} への $K-1$ チエインと名づける。明らかに、対象地点へ至るチエインの総数は $n(C_u)$ である。ここで、河道分布系は図 1 に示した方法により、面積分配係数を用いて変換しておくものとする。このチエイン概念は各 1 ドでの横流入を無視し河道の流れ機構を線形とすると非常に有効である。すなわち、このとき各チエインは互に独立であって、対象地点流出は、 $n(C_u)$ 個の単位セル流出群を時間変換したものとし表現される。

3-2 線形仮定をおく場合。ここで河道を線形とし、横流入について (面積分配係数)これを処理することにする。このとき $n(C_u)$ チエイン系における、単位セル流出群 $Q_u^{(i)}(t)$ ($i=1, 2, \dots, n(C_u)$) から、対象地点流出 $Q_R(t)$ への変換は、

$$(B \cdot Z) \begin{pmatrix} Q_1^{(1)}(t) \\ \vdots \\ Q_1^{(n(C_u))}(t) \end{pmatrix} = Q_R(t) \quad (12)$$

$$(B \cdot Z) = (BZ_1, \dots, BZ_{n(C_u)}) \quad (13)$$

$$B = \prod_{i=1}^K a_i = (R_a / 3)^K \quad (14)$$

とくる。ここで $Z^{(i)}$ は時間変換を表わす乗算子である。

$$Z^{(i)} f(t) = f(t - \tau^{(i)}) \quad i=1, 2, \dots, n(C_u) \quad (15)$$

と定義する。この式における $\tau^{(i)}$ は、第 i チエインの位数 i でのリンクの長さを以てとくこと、線形仮定と河道勾配則(7)から、

$$\tau^{(i)} = K_1 \sum_{u=2}^{K-1} R_u^{(u-1)/2} L_u^{(i)} \quad (16)$$

とくる。ここで、 $K_1 = \bar{n}_1 \cdot \bar{\sigma}_1 \cdot \bar{Z}_1 / \sqrt{\bar{S}_1}$ である。 $\bar{n}_1, \bar{\sigma}_1, \bar{Z}_1$ はそれぞれ位数 1 の 1 ド内の平均的な粗度係数、位数 1 の河道勾配の平均値、位数 1 の河道の潤辺長の平均値である。明らかに、式は地形量によつて表わされてゐるから、 $(B \cdot Z)$ は全く地形量だけを表わす。

γ の大きさを決める因子となり、 γ がゼータ波形を決める因子となる。この場合、 γ の特性をみるには、単位セル流出群 $Q_i^j(t)$ ($i=1, 2, \dots, n(C_i)$) をパルスとして、 γ を施すといふ(図2)。図中、 t_m はパルスの平均的な位置を示し、(6)式と(7)式から

$$t_m = K_1 \bar{L}_1 \sum_{u=2}^K (\sqrt{R_s} R_p)^{u-1} \quad (7)$$

となる。出水遅れを示す。 γ はパルスの広がりはゼータの尖り度を決める因子となるが

$$\gamma^2 = \frac{1}{n(C_i)} \sum_{u=2}^{n(C_i)} (K_1 \bar{L}_1 R_p^{(u-1)/2} l_{ui} - t_m)^2 \quad (8)$$

をパルスの広がりの指標として採用する。

3-3 局所線形仮定をおく場合、 γ に、線形仮定をはおし、1個の1ド内流れ機構を線形とする。この仮定は分布系全体からみて、局所線形仮定であり、各チエインの相間は、1個の1ド内流れの伝ばん速度の決定法の中に表現されることがある。ここで局所線形仮定がゼータ近傍について妥当であることを簡単に示しておく。浸水流は擬似管流と考えることができます。基礎式は

$$\frac{\partial A}{\partial t} + \frac{\partial Q}{\partial x} = g, \quad A = K Q^p \quad (9)$$

とかける。ここで A は流水断面積、 Q は流量、 g は横流入量、 x は距離、 t は時間である。このとき遅れ変化関数は、Kinematic wave 法によると

$$\frac{dt^*}{dt} = 1 - \frac{dt^*}{dt} \frac{d}{dt^*} [p K x Q(0, t^*)] \quad (10)$$

とかける。ここで t^* は特性曲線の出発する時刻である。したがって、遅れ変化関数は

$$\frac{dQ}{dt} = \frac{dt^*}{dt} \cdot \frac{dQ}{dt^*} \quad (11)$$

より、流下による波形の歪み度を示すと言えてよい。ゼータでは遅れ変化関数の値は 1 となるから、ゼータ近傍では、河道流下によつて波形を変形しないとしてよい。ここにゼータ近傍とは、ゼータ前後のある時間間隔をいうが、いまその大きさを T とするととき、この近似的程度を

$$\int_{-\frac{T}{2}+t_p}^{\frac{T}{2}+t_p} (1 - dt^*/dt)^2 dt \quad (12)$$

によつて評価するにはあれば、(10)式より、この近似において流下距離と T とは相互性をもつことわかる。したがつて、合流点間隔の大きい下流部では局所線形仮定によつて推定されるゼータ近傍の大きさ T は上流部に比して小さくなる必要がある。

以上のことをから、局所線形仮定をつきのように定義する。すなわち、① 1個の1ド内では河道流下によつて波形は変形せず、合流は単純加算とする。② 位数の河道のゼータ伝ばん速度は

$$V_u = \bar{Z}_{pu-1}^{1-p} / p \bar{K}_u \quad (13)$$

とする。これらの仮定によつて、3-2 と同様に (B-8) を導入することができる。

$$T^i = \sum_{u=2}^K \frac{p \bar{K}_u l_{ui}}{\bar{Z}_{pu-1}^{1-p}} = \sum_{u=2}^K \bar{K}_u l_{ui}^{*i} \quad (14)$$

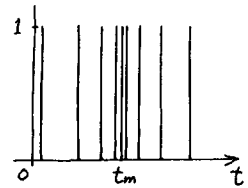


図 2

$$L_u^{*i} = p l_u^i / \bar{g}_{pu+}^{1-p} \quad (25)$$

とすればよい。この場合、 V_u の算定にあたり、 \bar{g}_{pu+} を使うこととしたが、 \bar{g}_{pu+} に対する L_u^{*i} の感度は(26)式より小さいことから無視十分である。

$$\partial \log L_u^{*i} / \partial \log \bar{g}_{pu+} = -0.4 \quad (26)$$

次に、(24)式に (9), (10)式を代入すると

$$\tau^i = \frac{1}{\bar{g}_{pi}^{1-p}} \sum_{u=2}^K \frac{L_u^{*i}}{\frac{R_s^{P/2}}{R_a^{1-p}} T_m^{1-p}} + \bar{K}_u \quad (27)$$

$$T_m = \alpha_m (Z + \beta_m P_m) \quad (28)$$

となり、 T_m に $P_i \approx 1$, $\beta_i \approx 1$, $\alpha_m = R_a/3$ を代入すると、(7)式によると

$$\tau^i = \frac{1}{\bar{g}_{pi}^{1-p}} \cdot p K_i \sum_{u=2}^K \left(\frac{R_s^{P/2}}{R_a^{1-p}} \right)^{u-1} L_u^{*i} = \frac{1}{\bar{g}_{pi}^{1-p}} \tau^{*i} \quad (29)$$

となる。 τ^{*i} は τ^i の平均 t_m と分散 σ_t^2 を求めておく。 τ^{*i} の平均を t_0 、分散を σ_0^2 とするとき、(24)式から

$$(t_m, \sigma_t) = \frac{1}{\bar{g}_{pi}^{1-p}} (t_0, \sigma_0) \quad (30)$$

$$t_0 = p K_i L_i \sum_{u=2}^K \left(\frac{R_s^{P/2}}{R_a^{1-p}} R_e \right)^{u-1}, \quad \sigma_0^2 = \frac{1}{n(C_i)} \sum_{i=1}^{n(C_i)} \left(p K_i \sum_{u=2}^K \left(\frac{R_s^{P/2}}{R_a^{1-p}} \right)^{u-1} L_u^{*i} - t_0 \right)^2 \quad (31)$$

3-5 ヨーロッパ地形の推定 単位セル流出群を Gaussian puls とし、4エイン統数 $n(C_i)$ が大きくなる分布が正規分布を下すものとすれば、3-3, 3-4 a (B, C) は確立として、

$$Q_R(t) = C e^{-\alpha' t^2}, \quad \alpha' = 1/(1/\alpha + 1/\beta) \quad (32)$$

となる。 $C = C$ は定数、 α は単位セル流出のヨーロッパ尖り度、 α' は対象地点流出のヨーロッパ尖り度である。 $\beta = 1/2\sigma_t^2$ である。(32)式より、対象地点ヨーロッパ尖り度 α' は、 $\alpha/\beta \ll 1$ のとき $\alpha \approx \alpha'$ 、 $\beta/\alpha \ll 1$ のとき $\beta \approx \alpha'$ が支配されることがわかる。意味深いのは $\beta/\alpha \ll 1$ のときである。そのとき $\alpha' \approx \beta$ であるから、ヨーロッパ波形は地形量と出水強度によって推定できることがわかる。

最後に、 β と出水強度、地形量との関係を要約すると以下の通りである。線形仮定のときほど簡単であるから、局所線形仮定のみ述べると。

① $\beta = \bar{g}_{pi}^{2(1-p)} / 2\sigma_0^2$ より、出水強度が大きいほどヨーロッパ波形は尖る。 $\beta < 1$ 。

② 式、天より、位数 $n(C_i)$ の重みは $(R_s^{P/2} R_a^{1-p} R_e)^{u-1}$ で示され、 $R_s^{P/2} R_a^{1-p} R_e > 1$ であるから、下流部の貯留点数が多いほど尖り度は小。 $I < 1$ 、 R_s, R_a の増大、 R_e の減少はヨーロッパ尖り度を減かせる。

4. 結び 集中化スケールについては、まだ十分に考察できていないが、 $T=2\pi$ 、本研究の成果をふまえ、今後は出水系の応答特性についてさらに検討し、集中化スケールを明確なものにしていきたい。